

单 N 沟道 MOSFET

ELM4N6006FDA-N

<http://www.elm-tech.com>

■ 概要

ELM4N6006FDA-N 是 N 沟道低输入电容，低工作电压，低导通电阻的大电流 MOSFET。

■ 特点

- $V_{ds}=60V$
- $I_d=35A (V_{gs}=10V)$
- $R_{ds(on)} = 20m\Omega (V_{gs}=10V)$
- $R_{ds(on)} = 24m\Omega (V_{gs}=4.5V)$

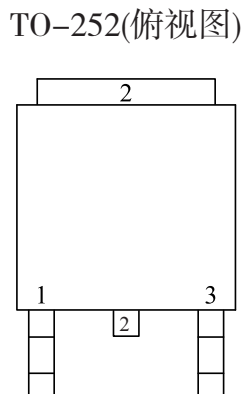
■ 绝对最大额定值

项目	记号	规格范围	单位	备注
漏极 - 源极电压	V_{ds}	60	V	
栅极 - 源极电压	V_{gs}	± 20	V	
漏极电流 (定常) ($V_{gs}=10V$)	$T_c=25^\circ C$	35.0	A	1
	$T_c=100^\circ C$	22.0		
	$T_a=25^\circ C$	7.4		
	$T_a=70^\circ C$	6.0		
漏极电流 (脉冲)	I_{dm}	80	A	2
单脉冲崩溃能量	E_{as}	39.2	mJ	3
崩溃电流	I_{as}	28	A	
容许功耗	$T_c=25^\circ C$	45	W	4
	$T_a=25^\circ C$	2		
结合部温度及保存温度范围	T_j, T_{stg}	-55 ~ +150	°C	

■ 热特性

项目	记号	典型值	最大值	单位	备注
结合部 - 环境热阻	$R_{\theta ja}$	-	62.0	°C/W	1
接合部 - 外封装热阻	$R_{\theta jc}$	-	2.8		

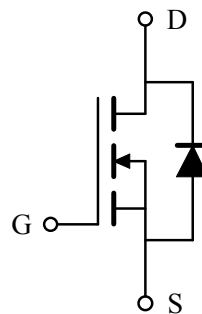
■ 引脚配置图



TO-252(俯视图)

引脚编号	引脚名称
1	GATE
2	DRAIN
3	SOURCE

■ 电路图



单 N 沟道 MOSFET

ELM4N6006FDA-N

<http://www.elm-tech.com>

■电特性

如没有特别注明时, $T_j=25^\circ\text{C}$

项目	记号	条件	最小值	典型值	最大值	单位	备注
静态特性							
漏极 - 源极击穿电压	BVdss	$V_{gs}=0\text{V}, I_d=250\mu\text{A}$	60	-	-	V	
栅极接地时漏极电流	Idss	$V_{ds}=48\text{V}, V_{gs}=0\text{V}$	-	-	1	μA	
		$V_{ds}=48\text{V}, V_{gs}=0\text{V}, T_j=55^\circ\text{C}$	-	-	5		
栅极漏电电流	Igss	$V_{gs}=\pm 20\text{V}, V_{ds}=0\text{V}$	-	-	± 100	nA	
栅极阈值电压	Vgs(th)	$V_{ds}=V_{gs}, I_d=250\mu\text{A}$	1.2	-	2.5	V	
漏极 - 源极导通电阻	Rds(on)	$V_{gs}=10\text{V}, I_d=20\text{A}$	-	-	20	$\text{m}\Omega$	2
		$V_{gs}=4.5\text{V}, I_d=10\text{A}$	-	-	24		
正向跨导	Gfs	$V_{ds}=5\text{V}, I_d=15\text{A}$	-	45	-	S	
二极管正向压降	Vsd	$V_{gs}=0\text{V}, I_s=1\text{A}$	-	-	1	V	2
寄生二极管最大连续电流	Is	$V_{gs}=V_{ds}=0\text{V}, \text{Force current}$	-	-	35	A	1, 5
二极管脉冲电流	Ism		-	-	80	A	2, 5
动态特性							
输入电容	Ciss	$V_{ds}=15\text{V}, V_{gs}=0\text{V}, f=1\text{MHz}$	-	2423	-	pF	
输出电容	Coss		-	145	-	pF	
反馈电容	Crss		-	97	-	pF	
栅极电阻	Rg	$V_{gs}=0\text{V}, V_{ds}=0\text{V}, f=1\text{MHz}$	-	1.7	-	Ω	
开关特性							
总栅极电荷 (4.5V)	Qg	$V_{ds}=48\text{V}, V_{gs}=4.5\text{V}, I_d=15\text{A}$	-	19.3	-	nC	
栅极 - 源极电荷	Qgs		-	7.1	-	nC	
栅极 - 漏极电荷	Qgd		-	7.6	-	nC	
导通延迟时间	td(on)	$V_{ds}=30\text{V}, V_{gs}=10\text{V}, I_d=15\text{A}$ $R_{gen}=3.3\Omega$	-	7.2	-	ns	
导通上升时间	tr		-	50.0	-	ns	
关闭延迟时间	td(off)		-	36.4	-	ns	
关闭下降时间	tf		-	7.6	-	ns	
寄生二极管反向恢复时间	trr		-	16.3	-	ns	
寄生二极管反向恢复电荷	Qrr	$I_f=15\text{A}, di/dt=100\text{A}/\mu\text{s}$	-	11.0	-	nC	

备注:

1. 测试值是安装在表面为1平方英寸2盎司铜箔的FR-4基板的状态下取得的值;
2. 脉冲测试: 脉冲宽度 $\leq 300\mu\text{s}$ 和占空比 $\leq 2\%$;
3. Eas表示的是最大值。测试条件为 $V_{dd}=25\text{V}, V_{gs}=10\text{V}, L=0.1\text{mH}, I_{as}=28\text{A}$;
4. 功耗受 150°C 结合部温度限制;
5. 数据在理论上是与 I_d 和 I_{dm} 相同的,而在实际应用中是会受总功率耗损所限制。

单 N 沟道 MOSFET

ELM4N6006FDA-N

<http://www.elm-tech.com>

■ 标准特性和热特性曲线

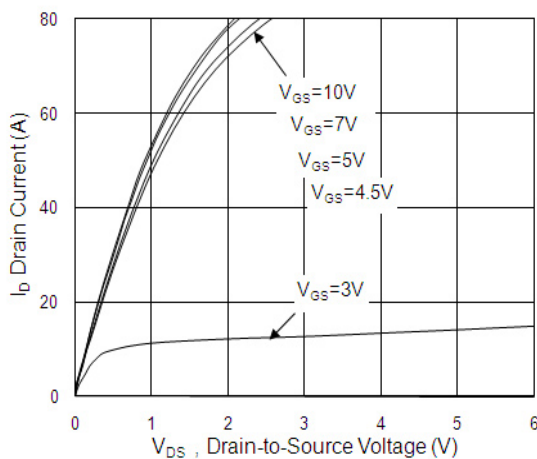


Fig.1 Typical Output Characteristics

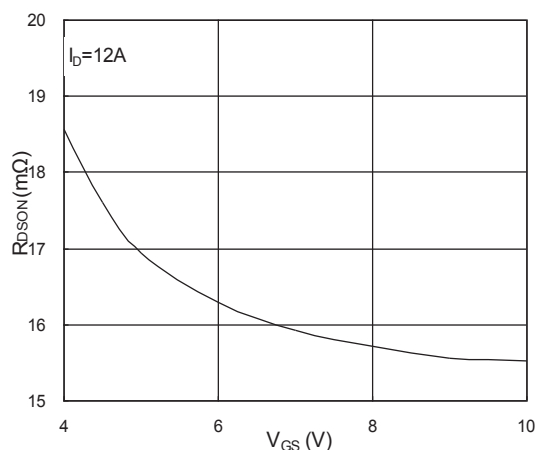


Fig.2 On-Resistance v.s Gate-Source

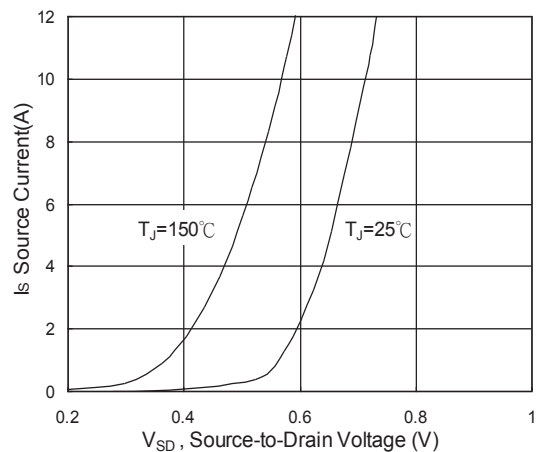


Fig.3 Forward Characteristics of Reverse

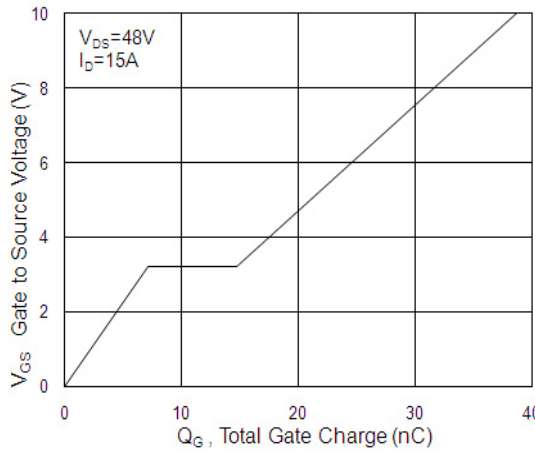


Fig.4 Gate-Charge Characteristics

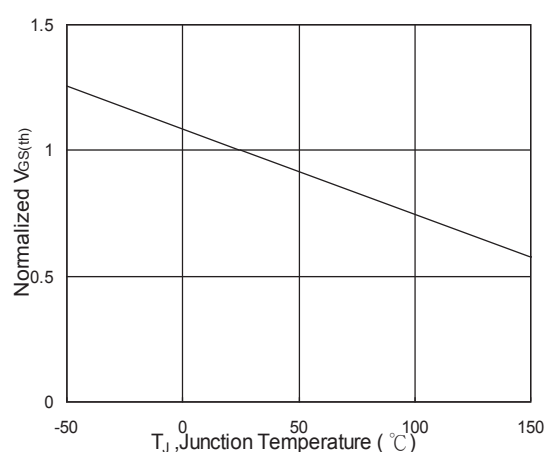


Fig.5 Normalized $V_{GS(th)}$ v.s T_J

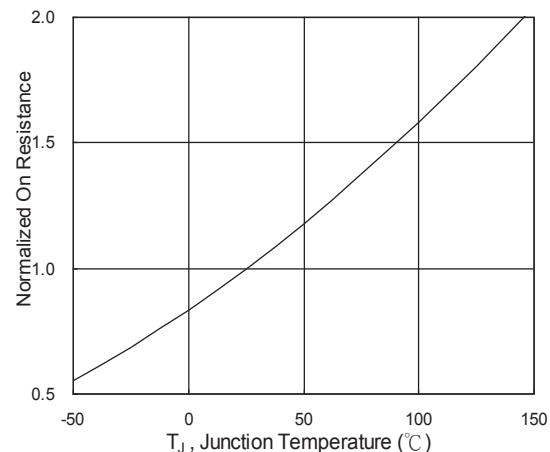


Fig.6 Normalized $R_{DS(on)}$ v.s T_J

单 N 沟道 MOSFET

ELM4N6006FDA-N

<http://www.elm-tech.com>

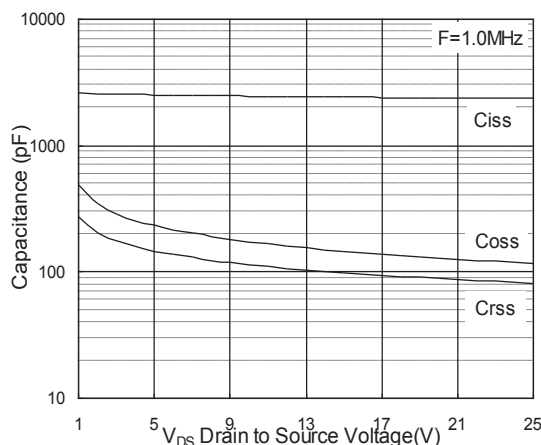


Fig.7 Capacitance

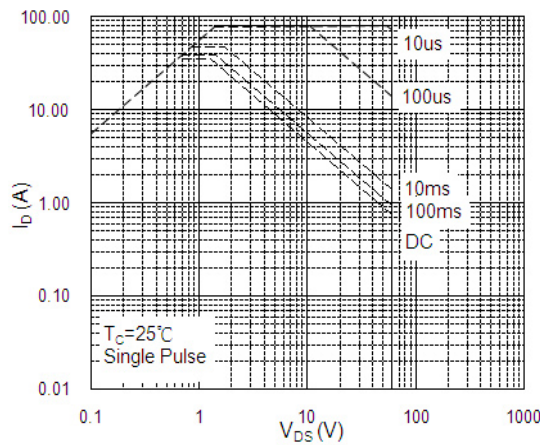


Fig.8 Safe Operating Area

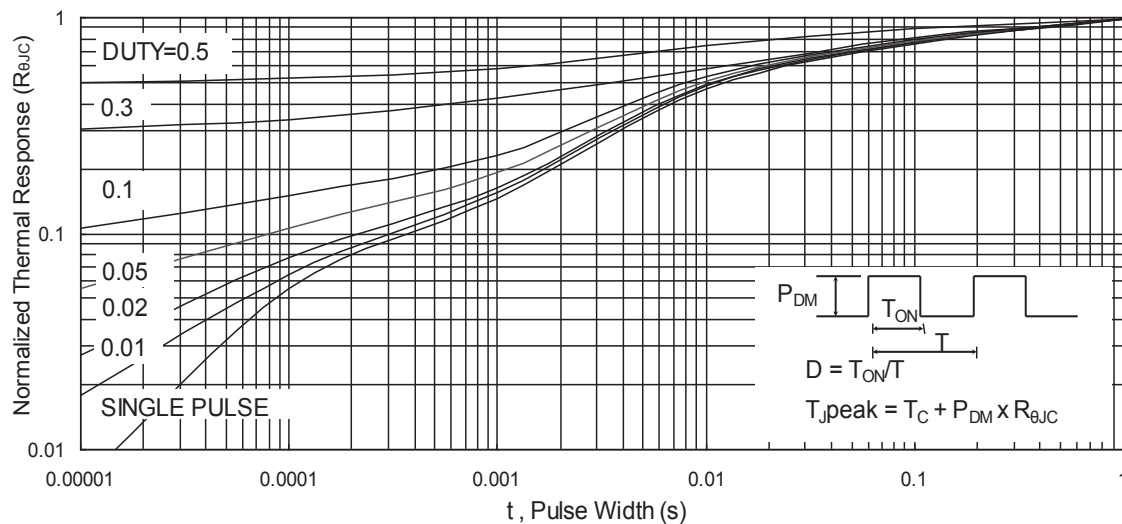


Fig.9 Normalized Maximum Transient Thermal Impedance

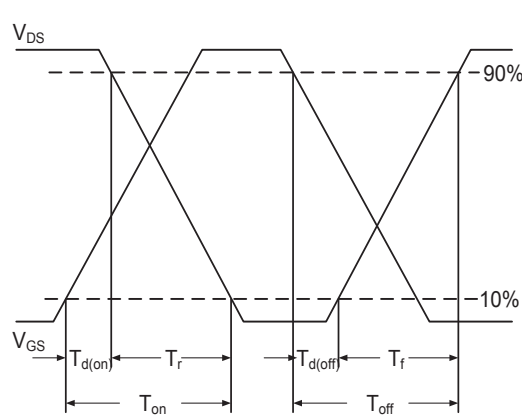


Fig.10 Switching Time Waveform

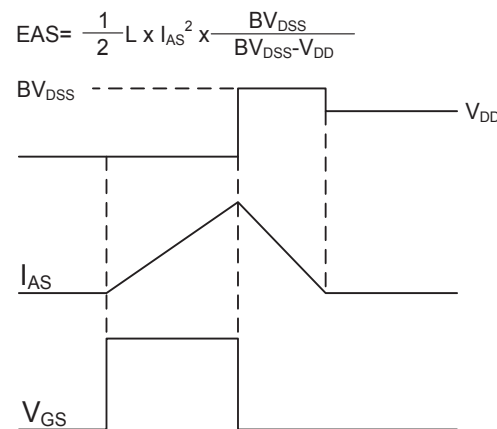


Fig.11 Unclamped Inductive Switching Waveform